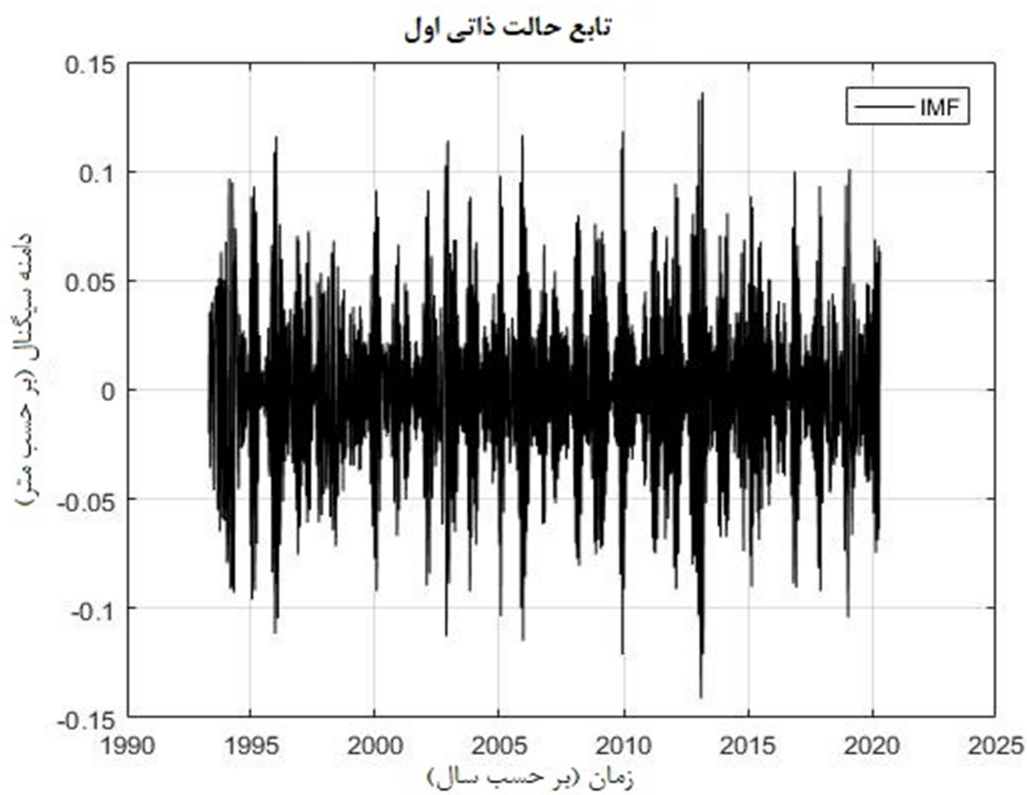


شکل ۳. سری زمانی آنومالی سطح دریا برای گذر ۹۲ با استفاده از میانه مشاهدات.

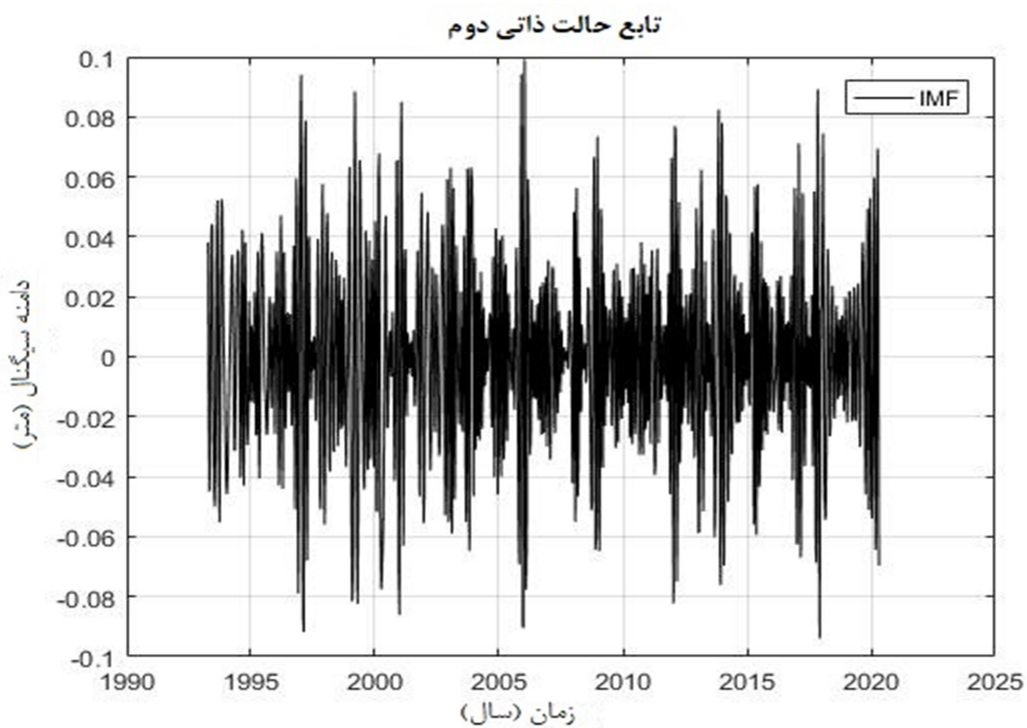
در مداری بین دو مدار اصلی خود قرار گرفته تا آن که به مأموریت خود پایان دهد. این اختلاف برای دو ماهواره توپکسپوزیدون و جیسون ۱ برابر 0.1105 متر و برای دو مأموریت جیسون ۱ و جیسون ۲ برابر -0.1612 متر و برای دو مأموریت جیسون ۲ و جیسون ۳ برابر -0.0251 متر محاسبه شد.

سری زمانی آنومالی سطح دریا در گذر ۹۲ با استفاده از روش تجزیه به حالت‌های ذاتی، تجزیه شد. در روش تجزیه به حالت‌های ذاتی ابتدا فرکانس‌های بالا یا پریود کوتاه تجزیه می‌شود و سپس آخرین IMF که به باقی‌مانده معروف است همان ترند سری زمانی مدنظر می‌باشد. شکل‌های ۴ تا ۱۳، بیان‌کننده توابع حالت‌های ذاتی در سری زمانی آنومالی سطح دریا مربوط به منطقه مطالعاتی خزر در بازه زمانی سال‌های ۱۹۹۳ تا ۲۰۲۰ میلادی می‌باشد که هر کدام از این توابع بیان‌کننده دامنه سیگنال در یک فرکانس خاص می‌باشد.

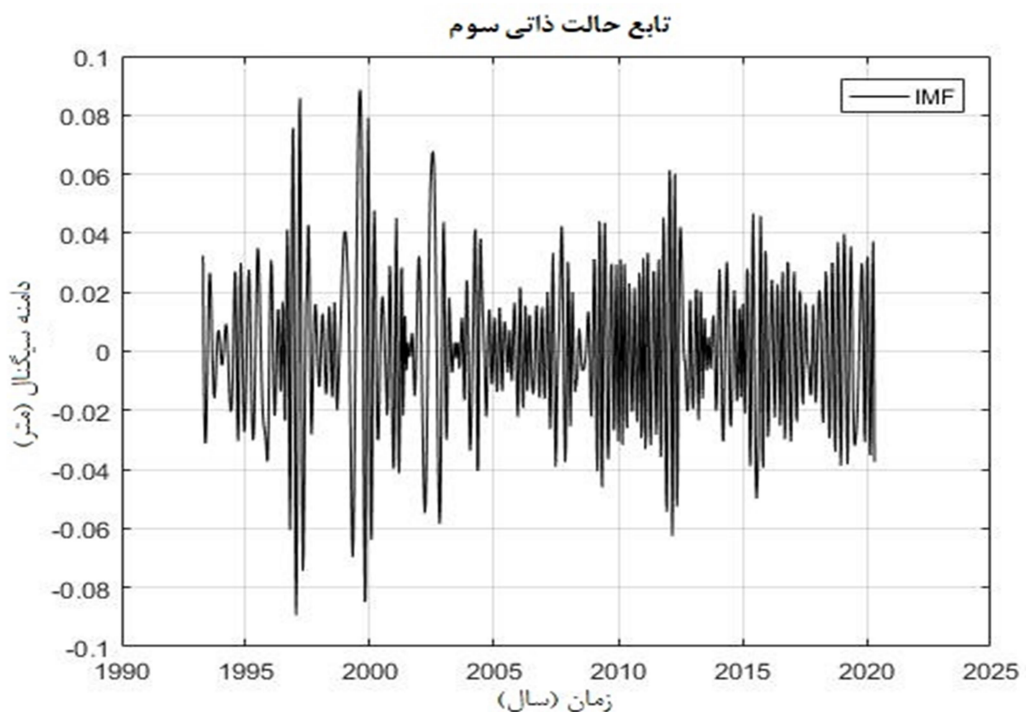
جهت استفاده از داده‌های ارتفاع‌سنگی چند ماهواره می‌بایست ابتدا تصحیحی به داده‌های ماهواره بعدی داده شود و این تصحیح با استفاده از محاسبه اختلاف مشاهدات دو ماهواره در سیکل‌های ابتدایی مأموریت بعدی می‌باشد که به فاز برداشت پشت‌سرهم معروف است (هاندوکو و همکاران، ۲۰۱۷). این بازه برای مأموریت توپکسپوزیدون و جیسون ۱ به صورت سیکل‌های ۳۴۳ تا ۳۶۴ توپکسپوزیدون و ۱ تا ۲۰ برای مأموریت جیسون ۱؛ ۲۴۰ تا ۲۵۹ برای مأموریت جیسون ۱ و ۱ تا ۲۰ برای مأموریت جیسون ۲ و در نهایت سیکل‌های ۲۷۳ تا ۲۹۲ برای جیسون ۲، و ۱ تا ۲۰ برای مأموریت جیسون ۳ می‌باشد. این مرحله از مأموریت‌های ارتفاع‌سنگی جهت از بین بردن بایاس‌های موجود بین داده‌های دو مأموریت و یکسان‌سازی داده‌های آنها انجام می‌شود و چیزی حدود ۲۰ هفته را شامل می‌شود و پس از آن مأموریت قدیمی تر



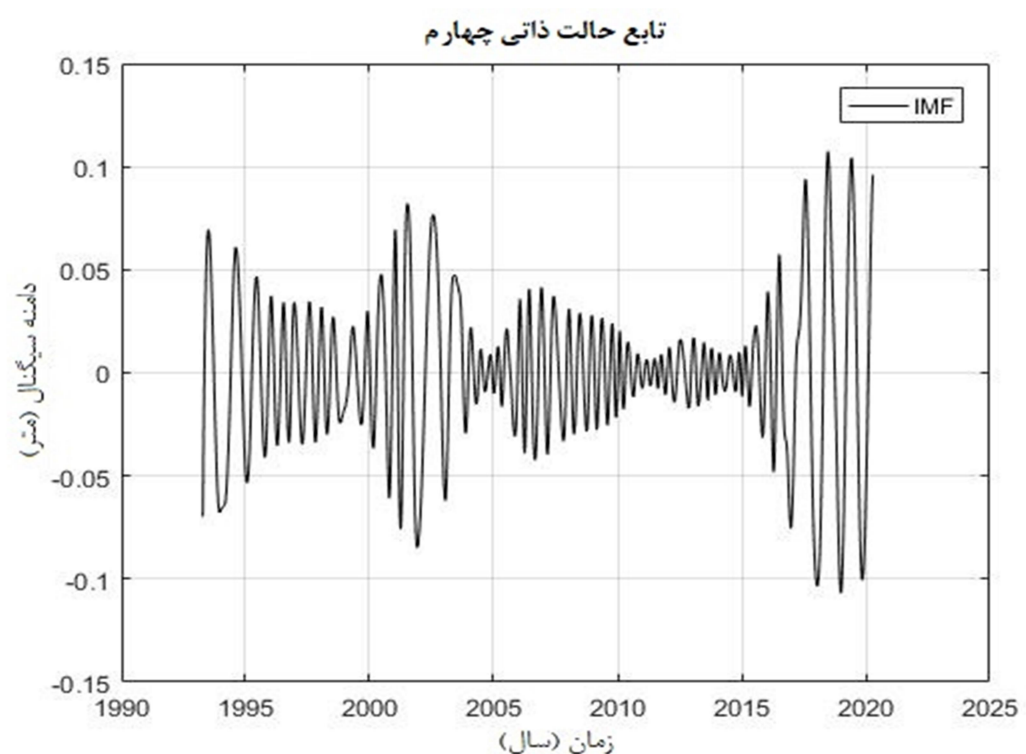
شکل ۴. تابع حالت ذاتی شماره یک سیگنال سری زمانی آنومالی سطح دریا.



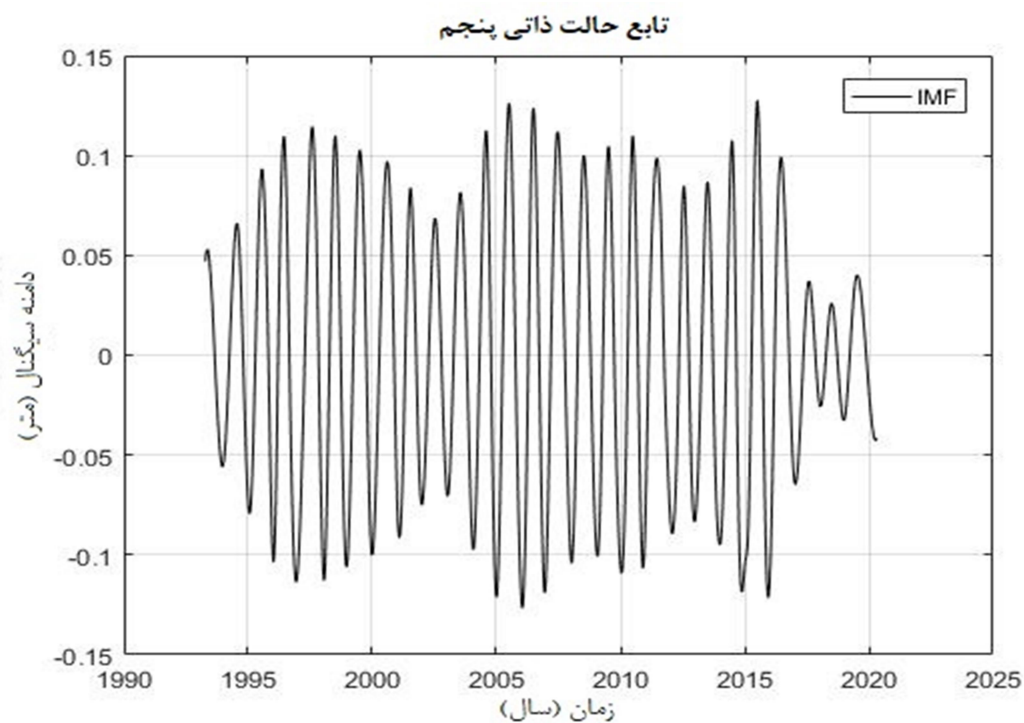
شکل ۵. تابع حالت ذاتی شماره دو سیگنال سری زمانی آنومالی سطح دریا.



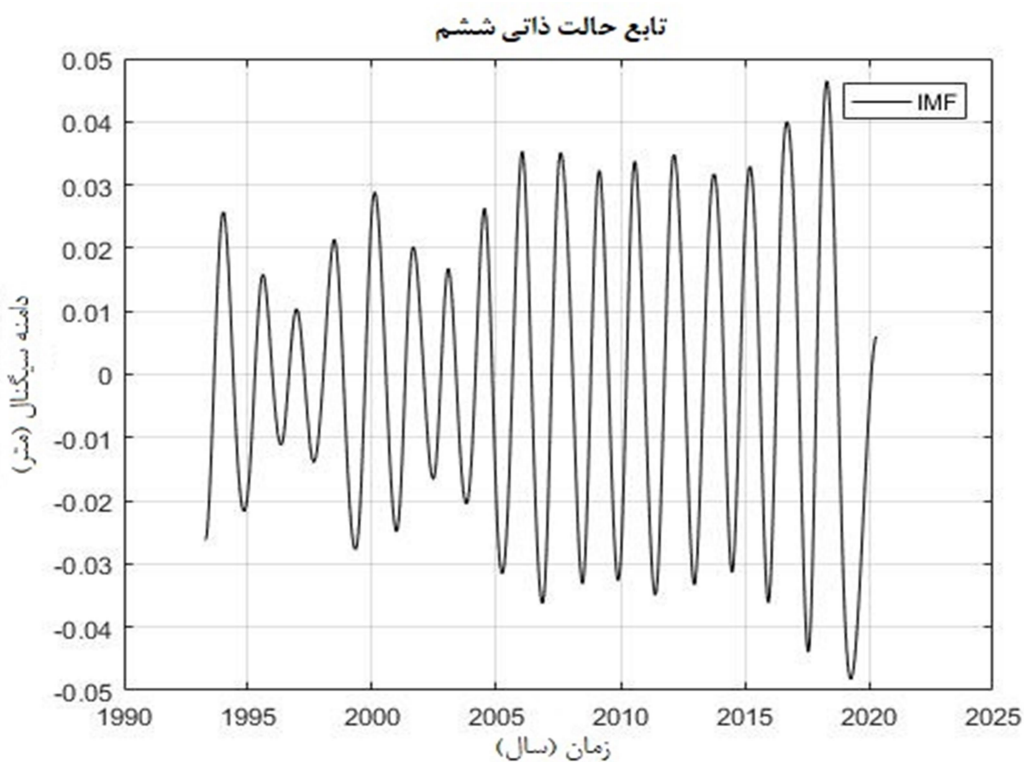
شکل ۶. تابع حالت ذاتی شماره سه سیگنال سری زمانی آنومالی سطح دریا.



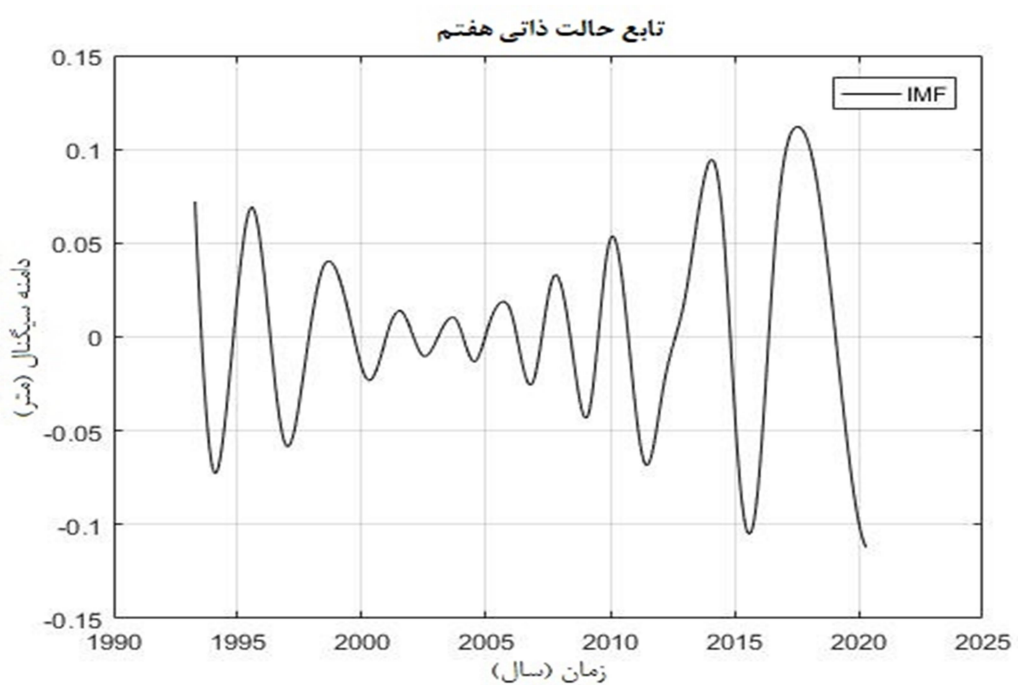
شکل ۷. تابع حالت ذاتی شماره چهار سیگنال سری زمانی آنومالی سطح دریا.



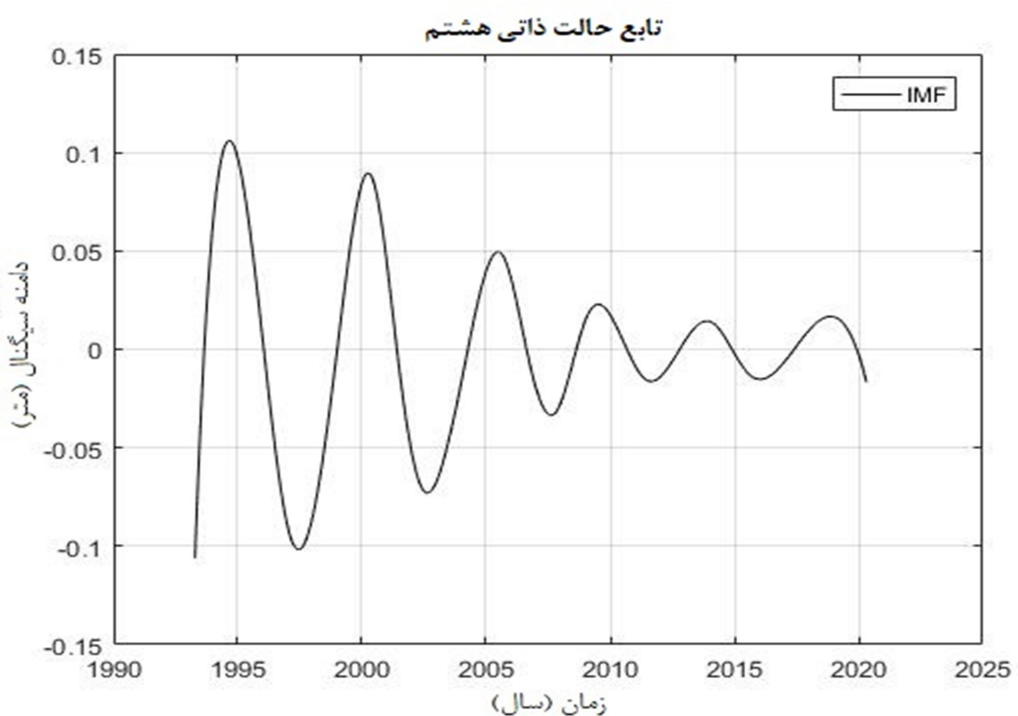
شکل ۸. تابع حالت ذاتی شماره پنجم سیگنال سری زمانی آنومالی سطح دریا.



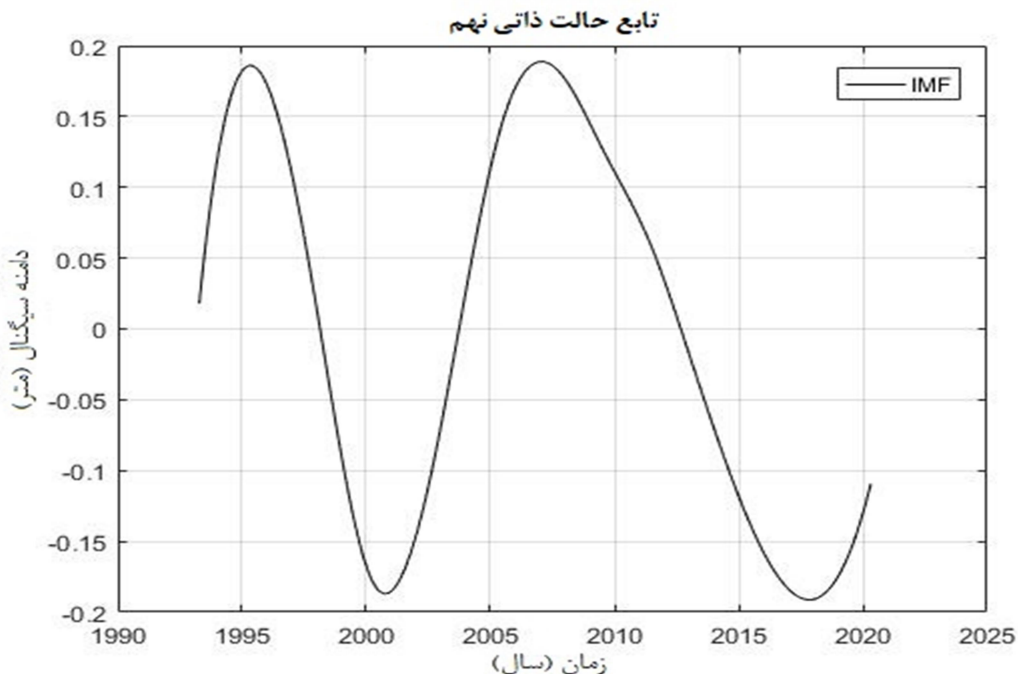
شکل ۹. تابع حالت ذاتی شماره شش سیگنال سری زمانی آنومالی سطح دریا.



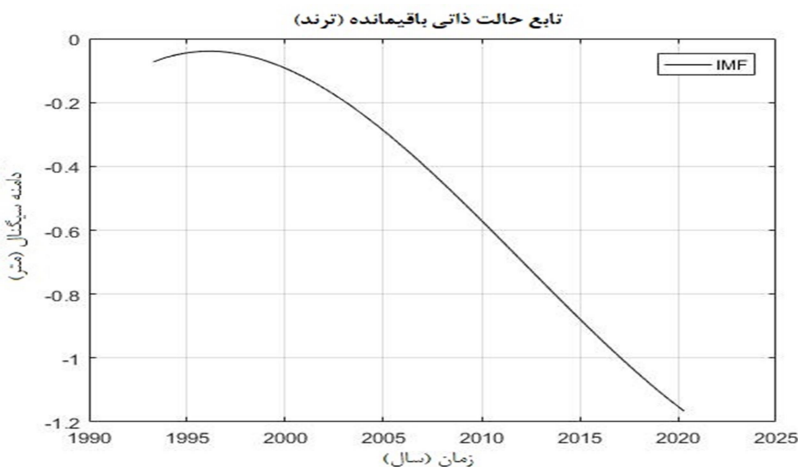
شکل ۱۰. تابع حالت ذاتی شماره هفت سیگنال سری زمانی آنومالی سطح دریا.



شکل ۱۱. تابع حالت ذاتی شماره هشت سیگنال سری زمانی آنومالی سطح دریا.



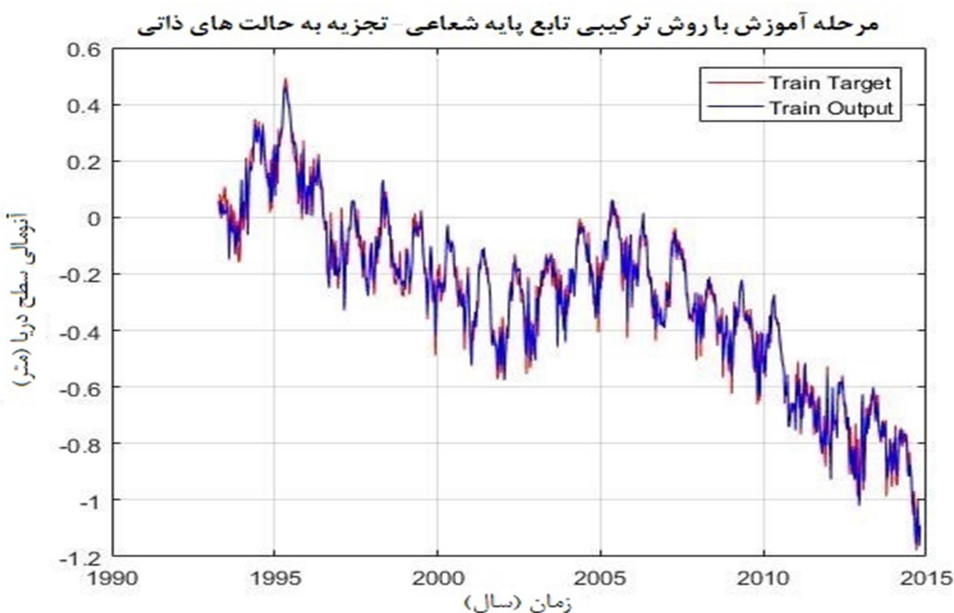
شکل ۱۲. تابع حالت ذاتی شماره نه سیگنال سری زمانی آنومالی سطح دریا.



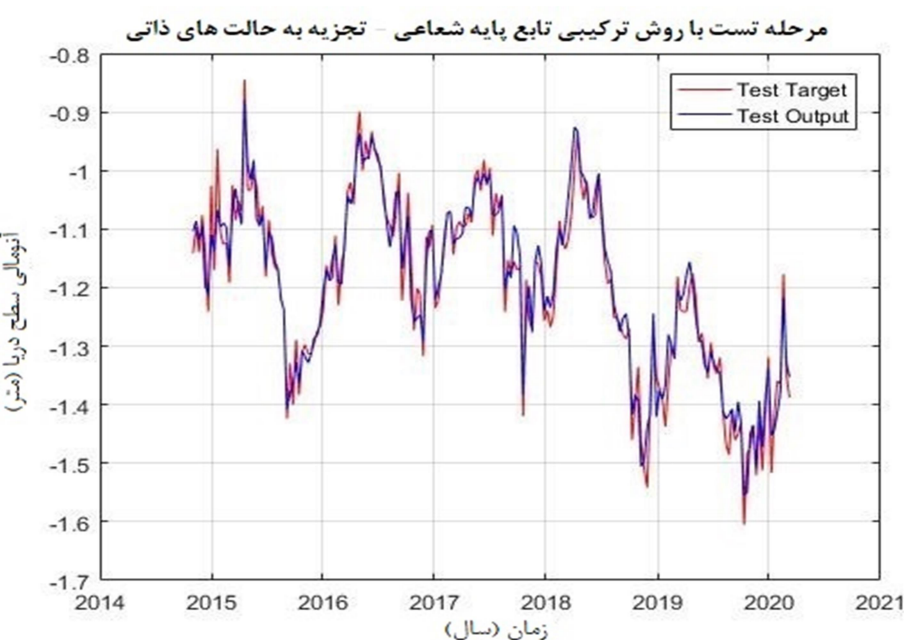
شکل ۱۳. سیگنال باقیمانده (ترند) سری زمانی آنومالی سطح دریا.

به وجود آمد. بدین ترتیب شبکه عصبی تابع پایه شعاعی با ورودی‌ها و مقادیر هدف ایجاد و در نهایت نتایج به دست آمده در دو مرحله تست و آموزش با پارامترهای ارزیابی گفته شده به دست آمد. شکل‌های ۱۴ و ۱۵، به ترتیب نشان‌دهنده مراحل آموزش و تست و همچنین مقادیر پیش‌بینی شده توسط این شبکه ایجاد شده می‌باشد.

در این پژوهش برای ایجاد یک شبکه پیش‌بینی، تک‌تک توابع حالت‌های ذاتی، به صورت جداگانه به عنوان داده‌های شبکه عصبی تابع پایه شعاعی مورد استفاده قرار گرفت و نحوه اعمال این ورودی‌ها بدین ترتیب بود که داده مربوط به پنج سیکل گذشته گذر ۹۲ عبوری از دریاچه خزر به عنوان ورودی و سیکل ششم به عنوان مقدار هدف مورد استفاده قرار گرفت و در نتیجه شبکه عصبی تابع پایه شعاعی با قابلیت پیش‌بینی یک سیکل آینده



شکل ۱۴. مرحله آموزش با روش ترکیبی تابع پایه شعاعی-تجزیه به حالت های ذاتی.



شکل ۱۵. مرحله تست با روش ترکیبی تابع پایه شعاعی-تجزیه به حالت های ذاتی.

نتایج پارامترهای ارزیابی به دست آمده از این دو مرحله به صورت جدول ۱ می‌باشد:

جدول ۱. پارامترهای ارزیابی نتایج ناشی از شبکه عصبی تابع پایه شعاعی-تجزیه به حالت های ذاتی.

مرحله تست		مرحله آموزش		روش ترکیبی ارائه شده
ضریب همبستگی	مجدور میانگین مربعات (متر)	ضریب همبستگی	مجدور میانگین مربعات (متر)	
۰/۹۷	۰/۰۳۴	۰/۹۹	۰/۰۲۹	

دارای ضریب همبستگی ۰/۹۹ و ۰/۹۷ نیز به ترتیب در مراحل آموزش و تست می‌باشد.

مراجع

- Ali Ghorbani, M., Khatibi, R., Aytek, A., Makarynskyy, O. and Shiri, J. 2010, Sea water level forecasting using genetic programming and comparing the performance with Artificial Neural Networks. *Computers & Geosciences*, 36, 620-627.
- Andersen, O. B. and Scharroo, R., 2011, Range and Geophysical Corrections in Coastal Regions: And Implications for Mean Sea Surface Determination. In: Vignudelli, S., Kostianoy, A. G., Cipollini, P. & Benveniste, J. (eds.) *Coastal Altimetry*. Berlin, Heidelberg: Springer Berlin Heidelberg.
- Bonaduce, A., Pinardi, N., Oddo, P., Spada, G. and Larnicol, G., 2016, Sea-level variability in the Mediterranean Sea from altimetry and tide gauges. *Climate Dynamics*, 47, 2851-2866.
- Cazenave, A. and Cozannet, G. L., 2014, Sea level rise and its coastal impacts. *Earth's Future*, 2, 15-34.
- Curch, J. A. and White, N. J., 2006, A 20th century acceleration in global sea-level rise. *Geophysical Research Letters*, 33.
- DU, K. L. and Swamy, M. N. S., 2006, Radial Basis Function Networks. In: DU, K. L. & Swamy, M. N. S. (eds.) *Neural Networks in a Softcomputing Framework*. London: Springer London.
- Handoko, E. Y., Fernandes, M. J. and Lázaro, C., 2017, Assessment of Altimetric Range and Geophysical Corrections and Mean Sea Surface Models—Impacts on Sea Level Variability around the Indonesian Seas. *Remote Sensing*, 9.
- Holgate, S. J., 2007, On the decadal rates of sea level change during the twentieth century. *Geophysical Research Letters*, 34.
- Huang, N. E., Shen, Z., Long, S. R., WU, M. C., Shih, H. H., Zheng, Q., Yen, N.-C., Tung, C. C. and LiuU, H. H., 1998, The empirical mode decomposition and the Hilbert spectrum for nonlinear and non-stationary time series analysis. *Proceedings of the Royal Society of London. Series A: Mathematical, Physical and Engineering Sciences*, 454, 903-995.
- Imani, M., You, R. J. and Kuo, C. Y., 2014, Caspian Sea level prediction using satellite altimetry by artificial neural networks. می‌تواند کمیت آنومالی سطح دریا را با استفاده از پنج سیکل گذشته خود در سیکل ششم پیش‌بینی کند. این شبکه دارای مقدار مجازور میانگین مربعات ۰/۰۲۹ متر و ۰/۰۳۴ متر، به ترتیب در مراحل آموزش و تست و همچنین International Journal of Environmental Science and Technology, 11, 1035-1042.
- Leuliette, E. W., Nerem, R. S. and Mitchum, G. T., 2004, Calibration of TOPEX/Poseidon and Jason Altimeter Data to Construct a Continuous Record of Mean Sea Level Change. *Marine Geodesy*, 27, 79-94.
- Rahmstorf, S., 2007, A Semi-Empirical Approach to Projecting Future Sea-Level Rise. *Science*, 315, 368.
- Röske, F., 1997, Sea level forecasts using neural networks. *Deutsche Hydrographische Zeitschrift*, 49, 71-99.
- Slangen, A. B. A., Katsman, C. A., Van de wal, R. S. W., Vermeersen, L. L. A. and Riva, R. E. M., 2012, Towards regional projections of twenty-first century sea-level change based on IPCC SRES scenarios. *Climate Dynamics*, 38, 1191-1209.
- Stammer D, C. A., 2018, Satellite Altimetry Over Oceans And Land Surfaces.
- Sun, W. and Wang, Q., 2012, Sea level anomaly forecasting based on combined model of least square and arma. *Journal of Geodesy and Geodynamics*, 32, 91-94.
- Vaziri, M., 1997, Predicting Caspian Sea Surface Water Level by ANN and ARIMA Models. *Journal of Waterway, Port, Coastal, and Ocean Engineering*, 123, 158-162.
- Wild, M., Calanca, P., Scherrer, S. C. and Ohmura, A., 2003, Effects of polar ice sheets on global sea level in high-resolution greenhouse scenarios. *Journal of Geophysical Research: Atmospheres*, 108.
- Xiao-Fen, D., 2014, Methodology and Case Study of Sea Level Prediction Based on Secular Tide Gauge Data. 2014.
- Zhao, J., Fan, Y. and Mu, Y. 2019, Sea Level Prediction in the Yellow Sea From Satellite Altimetry With a Combined Least Squares-Neural Network Approach. *Marine Geodesy*, 42, 344-366.

Sea level anomaly prediction using Empirical Mode Decomposition and Radial Basis Function Neural Networks

kia, H.^{1*} and Voosoghi, B.²

1. M.Sc. Graduated, Faculty of Geodesy and Geomatics Engineering, K. N. Toosi University of Technology, Tehran, Iran
2. Associate Professor, Faculty of Geodesy and Geomatics Engineering, K. N. Toosi University of Technology, Tehran,
Iran

(Received: 19 June 2021, Accepted: 10 Jan 2020)

Summary

Sea level anomaly as a parameter that expresses the difference between the instantaneous water level height and the average amount of water level in a period of time is of great importance in studying the water level situation in different regions. Predicting a time series requires that the series be static and that seasonal trends and changes be removed from the observations to eliminate the dependence of variance and mean on time. For this purpose, the use of various methods to static a time series has been suggested and used. Using the method of decomposition into the intrinsic modes of a signal that underlies the formation of intrinsic mode functions that include parts of the signal with approximately the same frequency; in order to analyze and isolate the trend and seasonal changes of the signal have been considered. Caspian sea as the largest lake in the world or the so-called largest enclosed water area in the world is located in northern Iran. This important water area has become one of the main sources of income for its peripheral countries. It has important oil and gas resources as well as the main source of sturgeon as one of the most expensive food sources in the world. This strategic region is known as a medium for connecting the East and the West of the world. In addition to the economic and commercial dimension, the Caspian Sea is of great importance from the military point of view, as numerous military maneuvers are held every year by the neighboring countries. For the above reasons; awareness of the water level and its changes has become increasingly important, especially over the past few decades, but despite this importance, not many studies have been conducted to study the water level. Therefore, in this research, using satellite altimeter data, the monitoring of water level changes in this area has been done. In this study a coverage of the sea anomaly parameter and its changes from 1993 to the present has been provided. The Caspian Sea water region as one of the two important water sources for Iran, is strategically important. For this purpose, in this study, using the transit data of 92 satellite altimetric missions passing through the Caspian Sea region, the changes in the sea level anomaly in this region since 1993 have been observed. This quantity is then analyzed using the method of analysis of intrinsic modes as an efficient method in separating the frequencies that make up a signal and then, using a neural network, a network of radial base functions has been created in order to predict sea level anomaly. 9 dominant frequencies along with a trend are the result of signal analysis considered in this study. Finally, it leads to the parameters of the mean square error of 0.029 m and 0.034 m with a correlation coefficient of 0.99 and 0.97, respectively, in the two stages of neural network training and testing.

Keywords: Satellite Altimetry, Signal Analysis, Empirical Mode Decomposition Method, Intrinsic Mode Function, Radial Basis Function Neural Network.

* Corresponding author:

hamedkia1989@email.kntu.ac.ir